Министерство образования и науки Российской Федерации Федеральное государственное автономное образовательное учреждение высшего профессионального образования «Московский физико-технический институт (национальный исследовательский университет)» Физтех-школа Аэрокосмических Технологий

На правах рукописи

Йе Хлаинг Тун

Генерация и свойства электронно-пучковой плазмы вблизи поверхности твёрдых тел и жидкости

Специальность: 01.04.08 – «Физика плазмы»

АВТОРЕФЕРАТ

диссертации на соискание ученой степени кандидата технических наук

Долгопрудный – 2021 г.

Работа прошла апробацию на кафедре логистических систем и технологий Федерального государственного автономного образовательного учреждения высшего образования «Московский физико-технический институт (национальный исследовательский университет)»

Научный руководитель: Васильев Михаил Николаевич

Доктор технических наук, профессор, заведующий кафедрой логистических систем и технологий Федерального государственного автономного образовательного учреждения высшего образования «Московский физикотехнический институт (национальный исследовательский университет)»

Ведущая организация: Акционерное общество "Государственный

научный центр Российской Федерации "Исследовательский центр имени М.В.

Келдыша"

Защита состоится «16» декабря 2021 г. в 13 часов на заседании диссертационного совета ФАКТ.01.04.08.005 по адресу 141701, Московская область, г. Долгопрудный, Институтский переулок, д. 9.

С диссертацией можно ознакомиться в библиотеке и на сайте Московского Физико-Технического Института (национального исследовательского университета): https://mipt.ru/education/postgraduate/soiskateli-fiziko-matematicheskie-nauki.php

Работа представлена «<u>3</u>» сентября 2021 г. в Аттестационную комиссию федерального государственного автономного образовательного учреждения высшего образования «Московский физико-технический институт (национального исследовательского университет)» для рассмотрения советом по защите диссертаций на соискание ученой степени кандидата наук, доктора наук в соответствии с п.3.1 ст. 4 Федерального закона «О науке и государственной научно-технической политике».

Введение

Актуальность работы: Уже более двух десятилетий ведутся исследования, нацеленные на разработку плазмотехнических систем, в которых плазма возбуждается электронными пучками (Electron-Beam Generated Plasma) при их взаимодействии с достаточно плотной газообразной средой. Рассматриваются применения таких систем в производственных, аэрокосмических технологиях, а также для решения медико-биологических и экологических задач. При этом эффективно используются уникальные свойства пучково-плазменных систем — возможность генерации больших объемов сильнонеравновесной химически активной плазмы практически любых газов. Обычным диапазоном рабочих давлений для таких систем являются давления форвакуумного диапазона (0,1-100 Topp), а температура газовой среды может варьироваться в весьма широком диапазоне в зависимости от мощности электронного пучка, используемого для генерации плазмы, и от особенностей решаемой технической задачи.

Наиболее успешно продвинулись разработки пучково-плазменных плазмохимической предназначенных ДЛЯ модификации материалов со сложной молекулярной структурой, таких синтетические и природные полимеры (биополимеры), поскольку именно эти соединения оказались наиболее восприимчивыми к многофакторному воздействию электронно-пучковой плазмы. Для таких задач возникает принципиальное ограничение на температуру реакционного объема, так какбольшинство органических и биоорганических материалов не выдерживают скольконибудь заметного нагрева. В плазмохимических реакторах, предназначенных для обработки термолабильных материалов, удается использовать одно из наиболее значимых преимуществ электронно-пучковой плазмы – высокую химическую активность при низких, вплоть до комнатных, температурах. Химическая активность достигается интенсивной наработкой атомов, ионов, и радикалов при достаточно высоких давлениях, недоступных большинству известных генераторов холодной плазмы.

При этом весьма полезной оказалась совместимость электронных пучков с другими источниками химически активной плазмы, например сгазоразрядными системами форвакуумного давления, что позволило создать особый класс плазмохимических реакторов – реакторов гибридного типа. В таких реакторах удается в полной мере объединить преимущества электронно-пучковой и газоразрядной плазмы и добиться высокой управляемости реакционным объемом при давлениях, более высоких, чем в обычных газоразрядных системах.

Важной особенностью пучково-плазменных систем является то обстоятельство, что в большинстве прикладных задач имеет место контакт электронно-пучковой плазмы с какой-либо поверхностью, например, с поверхностью обрабатываемого изделия (см. рис.1-а) или частиц аэрозоля, если обработке подвергаются материалы в виде порошков или капелек жидкости. Плазма также может контактировать со сплошным слоем жидкости, если решается соответствующая технологическая задача. И наконец, в реальных плазмохимических реакторах плазма контактирует с внутренними стенками реакционной камеры, как показано на рисунке (1-б) на примере реакционной камеры цилиндрической геометрии.

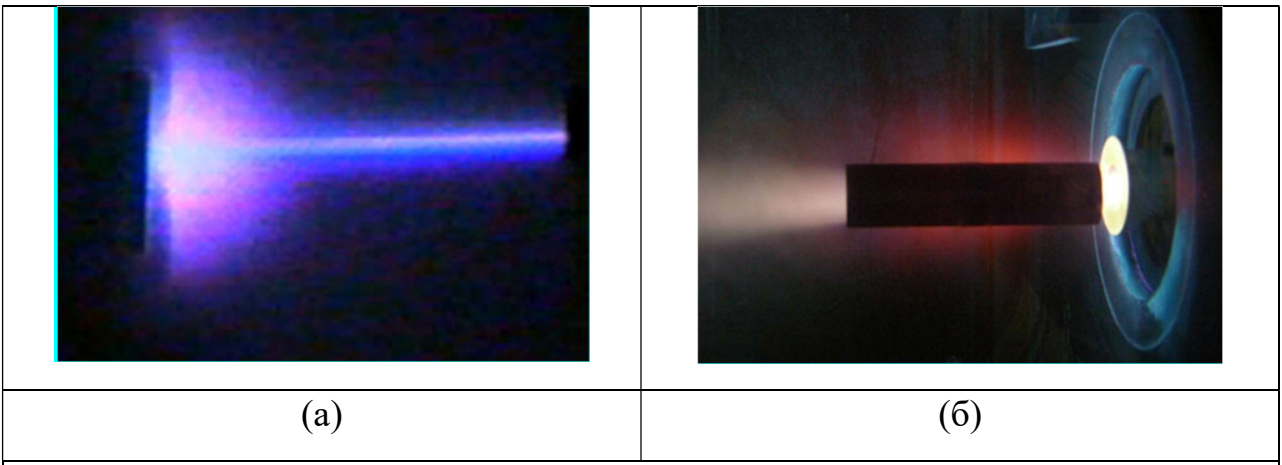


Рис.(1). Генерация электронно-пучковой плазмы:

- (а) около плоской поверхности,
- (б) внутри металлической трубки.

Свойства электронно-пучковой плазмы вблизи поверхности твердого тела или жидкости могут значительно отличаться от свойств плазмы, генерируемой в неограниченном пространстве, даже если параметры электронного пучка и характеристики плазмообразующей среды одинаковы. Это различие обусловлено физико-химическими процессами, которые происходят вблизи границы контакта плазма-поверхность, причем с обеих сторон этой границы. При конструировании пучково-плазменных реакторов чрезвычайно важным является учет реальной геометрии реакционной камеры и условий взаимодействия плазмы с поверхностью, например — наличие (или отсутствие) плазменного потока на границе раздела фаз.

Таким образом, разнообразие физико-химических процессов в условиях, когда происходит взаимодействие электронно-пучковой плазмы с

твердой или жидкой поверхностью в реакционных объемах реальных плазмохимических реакторов, определяет сложность физических и технических задач, решаемых при проектировании таких устройств и отработке технологий, основанных на их применении. Именно это определяет актуальность темы диссертационной работы, в которой экспериментально изучаются процессы генерации приповерхностной электронно-пучковой плазмы и исследуются некоторые ее свойства, важные с точки зрения приложений.

Цели диссертации. Целью настоящей работы является накопление, обобщение экспериментальных формировании данных анализ электронно-пучковой парогазовых приповерхностной В газовых, двухфазных газожидкостных системах применительно к конструированию и пучково-плазменных плазмохимических испытаниям реакторов реакционными камерами различных конструкций, которые предназначены для обработки твердых, жидких и порошкообразных материалов и изделий.

Задачи исследования:

- 1. Разработать специализированные блоки для существующей экспериментальной установки с целью изучения процессов, которые протекают вблизи поверхности мишеней и элементов конструкции реакционных камер пучково-плазменных реакторов и сопровождаются эмиссией теплового и оптического излучения. Отработать методики проведения экспериментов.
- 2. Изучить нагрев элементов конструкций реакционных камер и плазмообразующей среды в различных режимах работы пучковоплазменного реактора, выявить зависимость температурных полей в реакционных камерах от ключевых параметров, характеризующих рабочие режимы реакторов.
- 3. Изучить оптическое излучение, генерируемое внутри и вне реакционных камер, изготовленных из различных материалов, применительно к задачам оптической диагностики реакционного объема и неконтактного измерения температуры стенок реактора.
- 4. Доказать возможность генерации электронно-пучковой и гибридной плазмы вблизи поверхности диэлектрической жидкости.
- 5. Экспериментально изучить неоднородности, которые могут возникать в реакционных объемах при генерации электронно-пучковой плазмы в однофазных и двухфазных плазмообразующих средах.

Научная новизна проведенного исследования **з**аключается в том, что полученные результаты экспериментально подтвердили принципиально

важное предположение: газ (неподвижный или газовый поток), находящийся в реакционной камере, нагревается за счет теплообмена с горячими стенками реакционной камеры или нагретыми элементами ее внутренней оснастки. В свою очередь, стенки и внутренние элементы камеры нагреваются в результате бомбардировки быстрыми электронами пучка. В условиях наших экспериментов прямым нагревом газа электронным пучком при его можно пренебречь, релаксации чистом газе температуру приповерхностном слое ЭПП чистого газа можно считать приблизительно равной температуре поверхности твердого тела, контактирующей с плазмой. В электронно-пучковой плазме, содержащей конденсированную дисперсную фазу, это предположение может оказаться верным лишь в части, касающейся плазмы вблизи поверхности отдельных частиц КДФ.

Было также установлено, что приповерхностная электронно-пучковая плазма является оптически тонкой в видимом и ближнем ИК спектральных диапазонах. Это обосновывает применимость оптических методов, в том числе оптической пирометрии и эмиссионной спектроскопии, для исследования процессов в пристеночных слоях плазмы и плазмохимических реакций на поверхности обрабатываемого материала.

В экспериментах с приповерхностной электронно-пучковой плазмой локализованной внутри цилиндрического диэлектрического контейнера, обнаружено образование ярких неподвижных или медленно движущихсяпериодических структур, похожих на страты в тлеющем газовом разряде, которые имеют поперечные размеры, равные диаметру контейнера. Ранее такие структуры наблюдались только в неограниченном объеме пучковой плазмы и имели характерный размер, приблизительно равный диаметру рассеивающегося пучка.

Был также обнаружен эффект развития зоны горения приповерхностной плазмы в широком (вплоть до ≈ 50 мм) зазоре между мишенью и заземленным вспомогательным электродом.

Практическая значимость работы

Эксперименты по исследованию генерации и свойств приповерхностной плазмы дают ценную информацию для конструирования пучково-плазменных реакторов с реакционными камерами, изготовленными проводящих и диэлектрических материалов.

Установленный в экспериментах факт, что приповерхностная электронно-пучковая плазма является оптически тонкой, обосновывает применимость неконтактных измерений температуры для мониторинга процессов на поверхности материалов в процессе их плазмохимической обработки.

Успешно проведенные эксперименты по генерации электроннопучковой и комбинированной плазмы над поверхностью жидкого диэлектрика открывают возможности создания плазмохимических реакторов застойного и проточного типов для пучково-плазменной обработки жидкостей.

Основные положения, выносимые на защиту

- 1. Результаты модернизации существующей установки, которые обеспечили проведение экспериментов по генерации электронно-пучковой плазмы в пристеночных областях реакционных камер плазмохимических реакторов, предназначенных для обработки твердых материалов, жидкостей и газожидкостных смесей:
 - в коаксиальной и планарной конфигурации реакционной камеры;
 - в неподвижной плазме и в плазменном потоке;
 - при инжекции непрерывного и импульсно-периодического электронного пучка.
- 2. Результаты исследования температурных полей в пристеночных зонах реакционных камер пучково-плазменных реакторов и влияния на эти поля:
 - давления плазмообразующего газа;
 - интенсивности прокачки плазмообразующей среды через реакционную камеру.
- 3. Экспериментальное доказательство предположений о том, что:
 - нагрев газа в приповерхностном слое электронно-пучковой плазмы происходит за счет теплоотдачи от нагреваемой бомбардировкой быстрыми электронами твердой поверхности (стенок реакционной камеры или обрабатываемого материала);
 - приповерхностная плазма является оптически тонкой в видимом и ближнем ИК спектральных диапазонах.
- 4. Результаты экспериментов по генерации электронно-пучковой и комбинированной плазмы над поверхностью жидкого диэлектрика:
 - в неподвижном плазмообразующем газе;
 - при обдуве поверхности жидкого диэлектрика потоком плазмообразующего газа.
- 5. Результаты экспериментов, в которых наблюдались нестационарные явления, сопровождавшиеся:
 - образованием ярких неподвижных или движущихся периодических структур, похожих на страты в тлеющем газовом разряде;
 - развитием зоны горения приповерхностной плазмы в широком зазоре между мишенью и торцевой стенкой реакционной камеры.

Апробация работы: Результаты диссертационной работы были представлены на следующих конференциях, симпозиумах и научных семинарах:

- 1. 12-ая конференции «Вакуумная техника, материалы и технология», Москва. ВЦ, Сокольники, 2017.
- 2. VIII Международный симпозиум «Теоретическая и прикладная плазмохимия», г. Иваново, Россия, 2018.
- 3. 61-ая Всероссийская научная конференция, Московский физикотехнический институт, г. Долгопрудный, Россия, 2018.
- 4. 14-ая Международная научно-техническая конференция «Вакуумная техника, материалы и технология», (Москва, 2019).
- 5. Ежегодный саммит молодых ученых и инженеров «Большие вызовы для общества, государства и науки», Университет СИРИУС (Сочи), 2019.
- 6. 62-ая Всероссийская научная конференция, Московский физикотехнический институт, г. Долгопрудный, Россия, 2019.
- 7. 27-я научно-техническая конференция с участием зарубежных специалистов «Вакуумная наука и техника» (ТОК «Судак», Республика Крым, 2020).
- 8. 15-ая Международная выставка вакуумного и криогенного оборудования, Москва, Россия, 2020.
- 9. 63-ая Всероссийская научная конференция, Московский физикотехнический институт, г. Долгопрудный, Россия, 2020.

Публикации: По теме диссертационного опубликовано 11 работ, из них 5 статей - в рецензируемых научных журналах, входящих в перечень ВАК РФ, из них 1 статья - в изданиях, индексируемых в международных базах данных (SCOPUS). Доклады, сделанные на российских и международных конференциях, опубликованы в 5 сборниках.

Личный вклад соискателя заключается в следующем:

- автор непосредственно участвовал в планировании и постановке экспериментов, в выборе методик их проведения; им была получена значительная часть экспериментальных данных, проведен их анализ и обобщение;
- автор выполнил вычислительные эксперименты, позволившие существенно уменьшить объем и снизить трудоемкость физических экспериментов; автором сформулированы выводы и рекомендации по

практическому использованию результатов диссертационного исследования.

Структура и объем диссертации: Диссертация состоит из введения, 4 глав, выводов и список литературы. Общий объем диссертации 99 страниц, включая 67 рисунка и 4 таблицы. Список литературы включает 116 наименований.

СОДЕРЖАНИЕ РАБОТЫ

Во Введении кратко описана техника генерации электронно-пучковой плазмы и ее основные свойства. Отражены особенности приповерхностной электронно-пучковой плазмы, а также техникигенерации электронно-пучковой плазмы двухфазных и многофазных средах. Сформулирована общая направленность диссертационного исследования и обоснована его актуальность. Охарактеризована структура диссертации.

Первая глава содержит краткий обзор наиболее значимых работ, относящихся к тематике диссертационного исследования. При этом основное внимание было уделено работам, в которых рассматриваются физические и химические процессы, сопровождающие взаимодействие электронно-пучковой плазмы с поверхностью. Специальные разделы обзора посвящены приложениям электронно-пучковой плазмы, основанным на ее воздействии на компактные твердые тела, жидкости, двухфазные и многофазные среды.

В главе 2 на основании проделанного анализа современного состояния научно-технических проблем, относящихся к тематике диссертационного исследования, и доступной литературы конкретизирована цель работы и сформулированы задачи, которые необходимо решить для достижения поставленной цели. Охарактеризована научная новизна и практическая значимость работы, сформулированы основные положения, выносимые на защиту. Приведены данные об апробации работы и публикациях автора, по теме диссертационного исследования.

В главе 3 описаны экспериментальная установка и методики проведения экспериментов. Общая постановка задачи экспериментального исследования иллюстрируется рисунком (2). Тонкий электронный пучок (ЭП), предварительно сформированный в высоковакуумной камере электронной пушкой, инжектируется в заполненную плазмообразующим газом рабочую камеру через выводное устройство (газодинамическое окно). Из-за упругих и неупругих процессов, сопровождающих распространение ЭП в газе, пучок рассеивается и деградирует. В результате, формируется облако

электронно-пучковой плазмы (ЭПП); в облако ЭПП может быть помещенаплоская мишень, твердая или жидкая. Направление оси инжекции пучка образует угол φ с плоскостью мишени.

В ходе наших экспериментов измерялся потенциал металлической мишени U и ее температура T_w ; регистрировался спектр излучения приповерхностной плазмы на фоне спектралюминесценции мишени и непрерывного спектра ее тепловогоизлучения. Варьировались давление плазмообразующего газа P_m (в диапазоне 10^{-1} - $2\cdot10^1$ Торр) и ток пучка I_b (от $1,0\,$ до $100\,$ мА). Эксперименты проводились для различных углов φ в следующих газах: воздух, кислород, инертные газы (гелий, аргон), газообразные углеводороды (метан, пропан). Во время многих экспериментах велась видеозапись наблюдавшихся процессов.

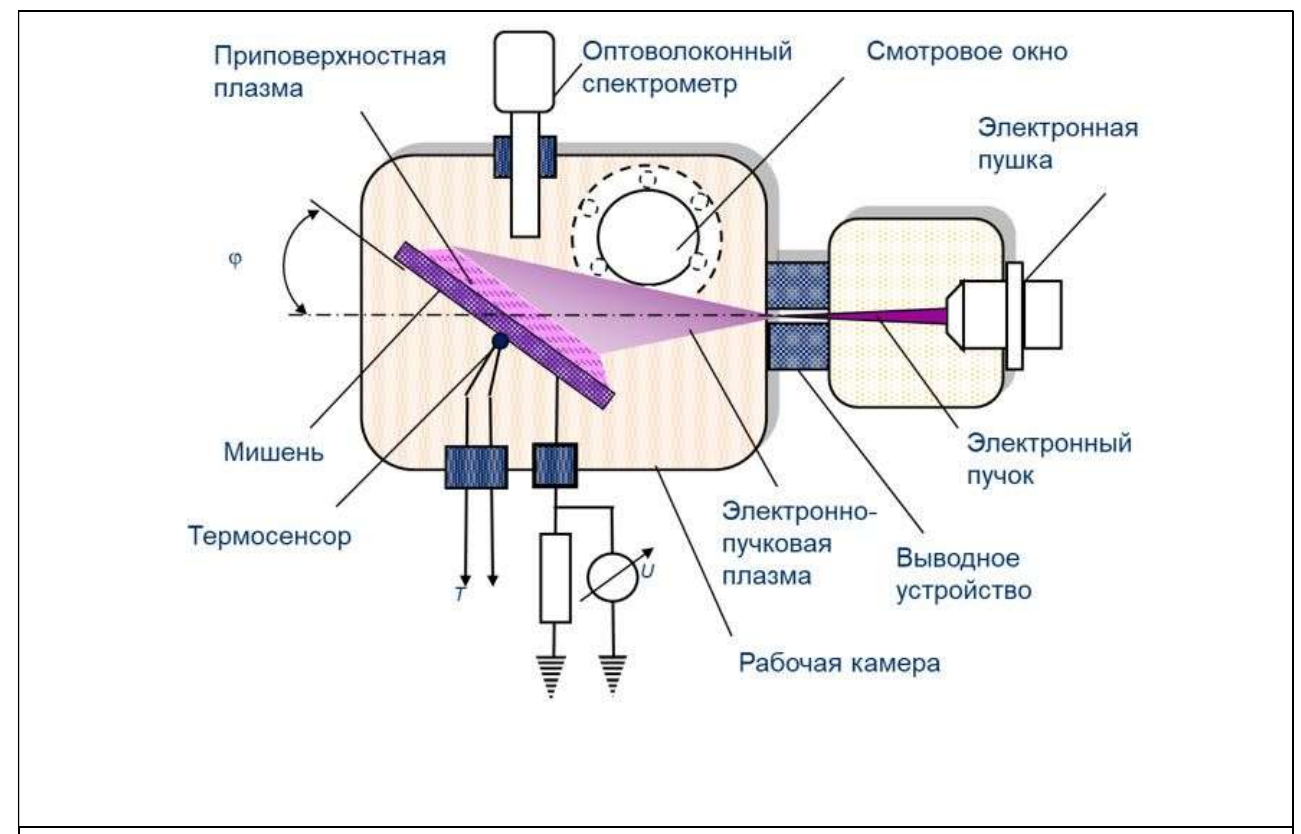


Рис.(2). Схема экспериментов по генерации плазмы вблизи поверхности плоской мишени.

Принципиальные схемы измерения температуры стенки реакционной камеры представлены на рис.(3). Рис.(3-а) иллюстрирует методику неконтактного измерения температуры T_w с помощью ИК-пирометра через окно из селенида цинка (ZnSe). Такая схема наиболее подходит для реакционных камер коаксиальной конфигурации без теплоизоляции внешней

поверхности. Для теплоизолированных камер в силу очевидных причин более удобными являются контактные измерения: миниатюрные термодатчики могут быть установлены в различных точках реакционной камеры, как показано на рис.(3-б).

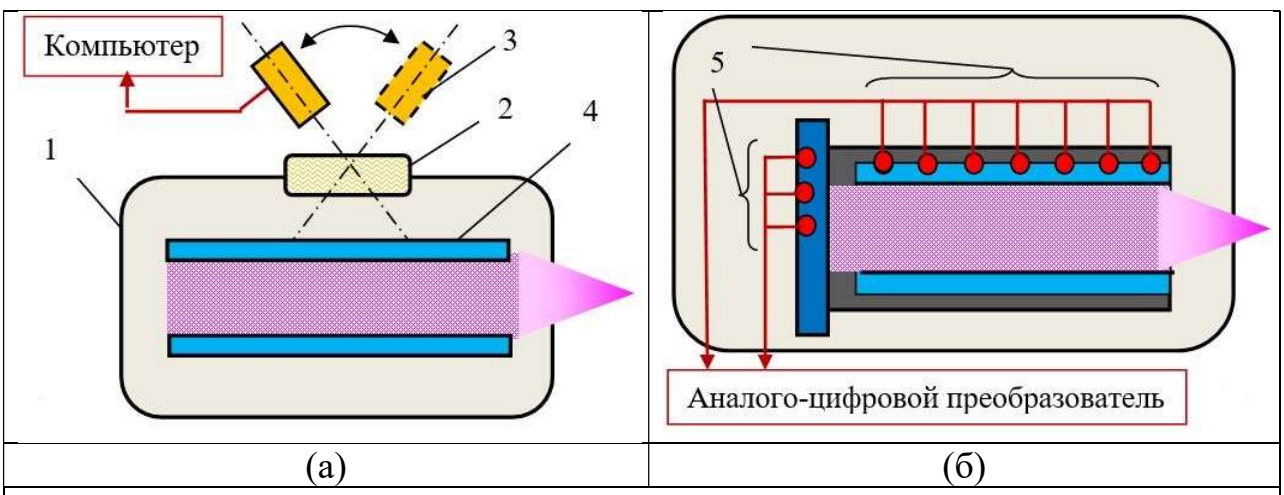
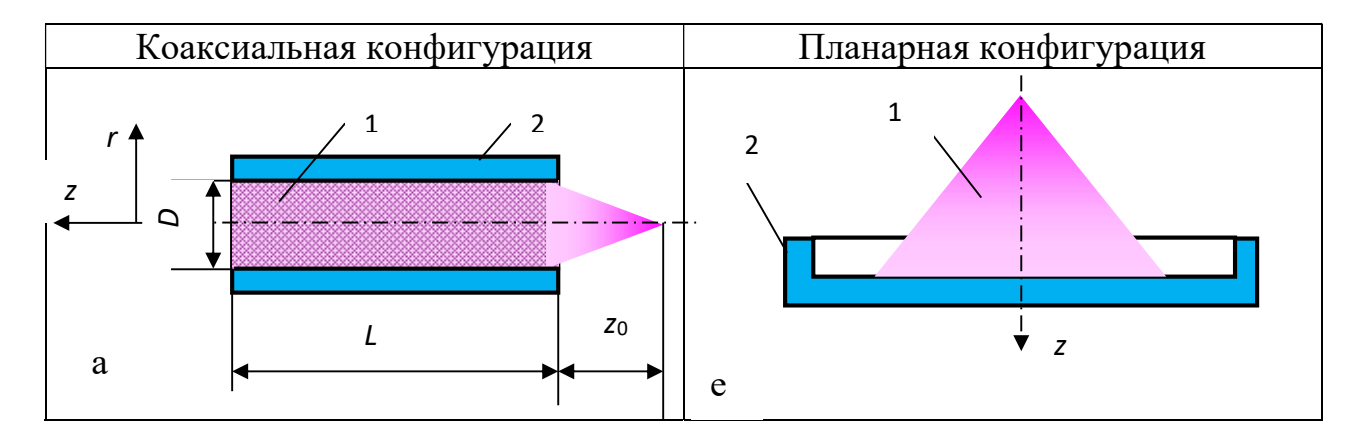


Рис.(3). Схема измерения температуры стенок реакционной камеры.

- (а) пирометрия, (б) –контактными термодатчиками:
- (1) рабочая камера, (2) –окно ZnSe, (3) пирометр, (4) реакционная камера, (5) –термодатчики.

Рис.(4) иллюстрирует варианты проведения экспериментов по исследованию приповерхностной ЭПП:

- в коаксиальной (а-д) и планарной конфигурациях (е-к);
- в неподвижном газе (а-в, е-з) и в газовом потоке (г, д, и, к);
- у твердой (а-е) и жидкой (ж-к) поверхности;
- при наложении внешнего электромагнитного поля (3, и).



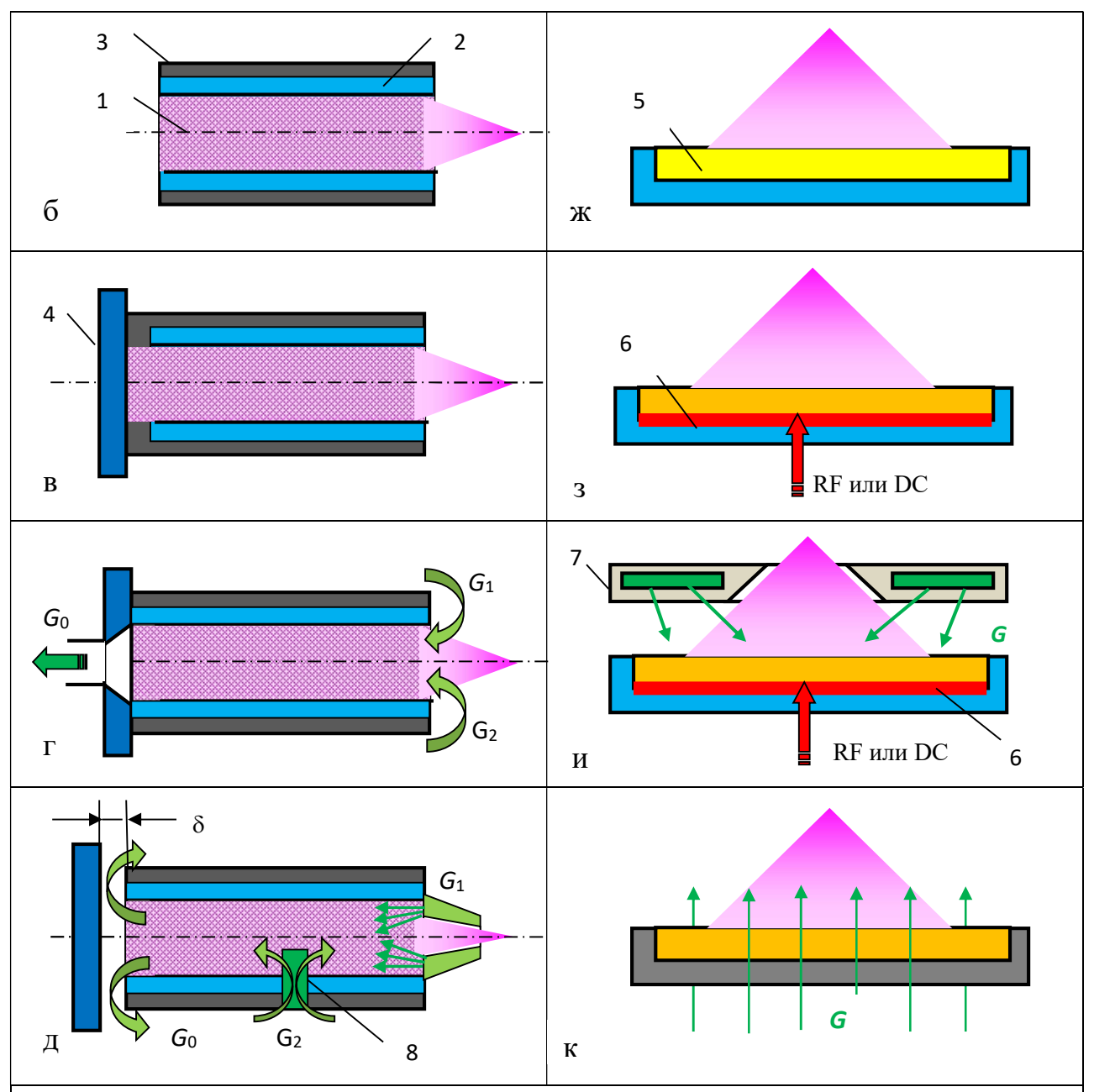


Рис.(4). Генерация плазмы в пучково-плазменном реакторе с коаксиальной (а-д) и планарной (е-к) конфигурацией реакционной камеры:

(1) — электронно-пучковая плазма, (2) — реакционная камера, (3) — теплоизоляция, (4) — торец реакционной камеры, (5) — жидкость, (6) — активный электрод, (7) — пассивный электрод, (8) — инжектор дополнительного газа, пара или жидкости.

В таблицах (1) и (2) сведена информация о всех приборах, которые использовались в наших экспериментах для тепловых и оптических измерений, а именно для исследования функций:

- $T_w(z)$ и $T_w(r)$, характеризующих нагрев реакционной камеры в различных условиях проведения экспериментов (координата z направлена вдоль оси инжекции ЭП, а координата r отсчитывается в направлении, перпендикулярном z);
- $B = B(P_m)$, $B_{\lambda} = B_{\lambda}(P_m)$, характеризующих интегральную B и спектральную B_{λ} интенсивности излучения ЭПП в зависимости от мощности инжектируемого пучка N_b , и давления плазмообразующего газа P_m .

Для оптических измерений применялись:

- спектральные приборы (большинство экспериментов проведено с использованием системы эмиссионной спектроскопии Avantes);
- широкополосные приемники излучения (фотодиоды и фотоумножители);
- эталонные источники света (вольфрамовая лампа и калибровочный источник системы Avantes).

Различные схемы проведения оптических измерений иллюстрируются рисунком (5).

Таблица (1). Состав и характеристики элементов системы измерения температуры стенок реакционной камеры.

Элемент	Марка, Изготовитель	Основные технические характеристики		
Инфракрасный пирометр	OptrisLS, OptrisGmbH,Germany	Диапазон измерений, °С	-35900	
		Спектральный отклик, µm	814	
		Геометрическое разрешение, мм	116	
Окно из селенида цинка	ООО«Электростекло», Россия	Диапазон пропускания, µm	314	
		Размер, мм	50x5	
		Δ <i>P</i> > 1 бар		
Программное обеспечение	OptrisConnect, OptrisGmbH,Germany			
Термопары	W-Re 5/20, МЭЛЗ, Россия	Диапазон температур, °С	0+1900	
Терморезисторы	HEL-775AU,	Диапазон измерений, °С	-55+150	

Hor	neywell,	Чувствительность	8,7 Ω/°C
HR'	TS-5760-BHoneywell	Диапазон измерений, °С	-200+26 0
		Чувствительность	3,37 Ω/°C
HR	TS-61Honeywell	Диапазон измерений, °С	<i>−</i> 75…+425
		Чувствительность	3,3 Ω/°C

Таблица (2). Система эмиссионной спектроскопии Avantes, Нидерланды.

Элемент системы	Марка,	Основные	Фактически	Функция в системе
		технические	й рабочий	
		характеристики	диапазон	
Спектрометр УФ-	AvaSpec-	Волновой	350-950 нм	Регистрация
и видимого	2048-2,	диапазон		спектров излучения
диапазона		измерений: 200-		и поглощения
		1100 нм		плазмы. Регистрация
				спектров
				люминесценции
				поверхности.
Фокусирующая	UV/VIS/NI	Диапазон	350-950 нм	Фокусировки
коллимационная	R	пропускания		падающих потока
линза		200-2500 нм		излучения на торце
				оптического волокна
Оптоволоконный	FC-	Диапазон	350-950 нм	Соединение
кабель	UV(IR)400	пропускания		спектрометра и
	-1(2)-ME,	UV/VIS:		коллимационной
		200-800 nm		линзы
		IR:		
		350-2000 nm.		
Программное	AvaSoft			Удаленноеуправлен
обеспечение	7.0 USB1			ие системой
	(USB 2)			эмиссионной
				спектроскопии
Калибровочная	AvaLight	Эталонный	350-950 нм	Калибровка
лампа	Hal-Cal	источник света		спектрометра
		для диапазона		
		350-2500 нм		

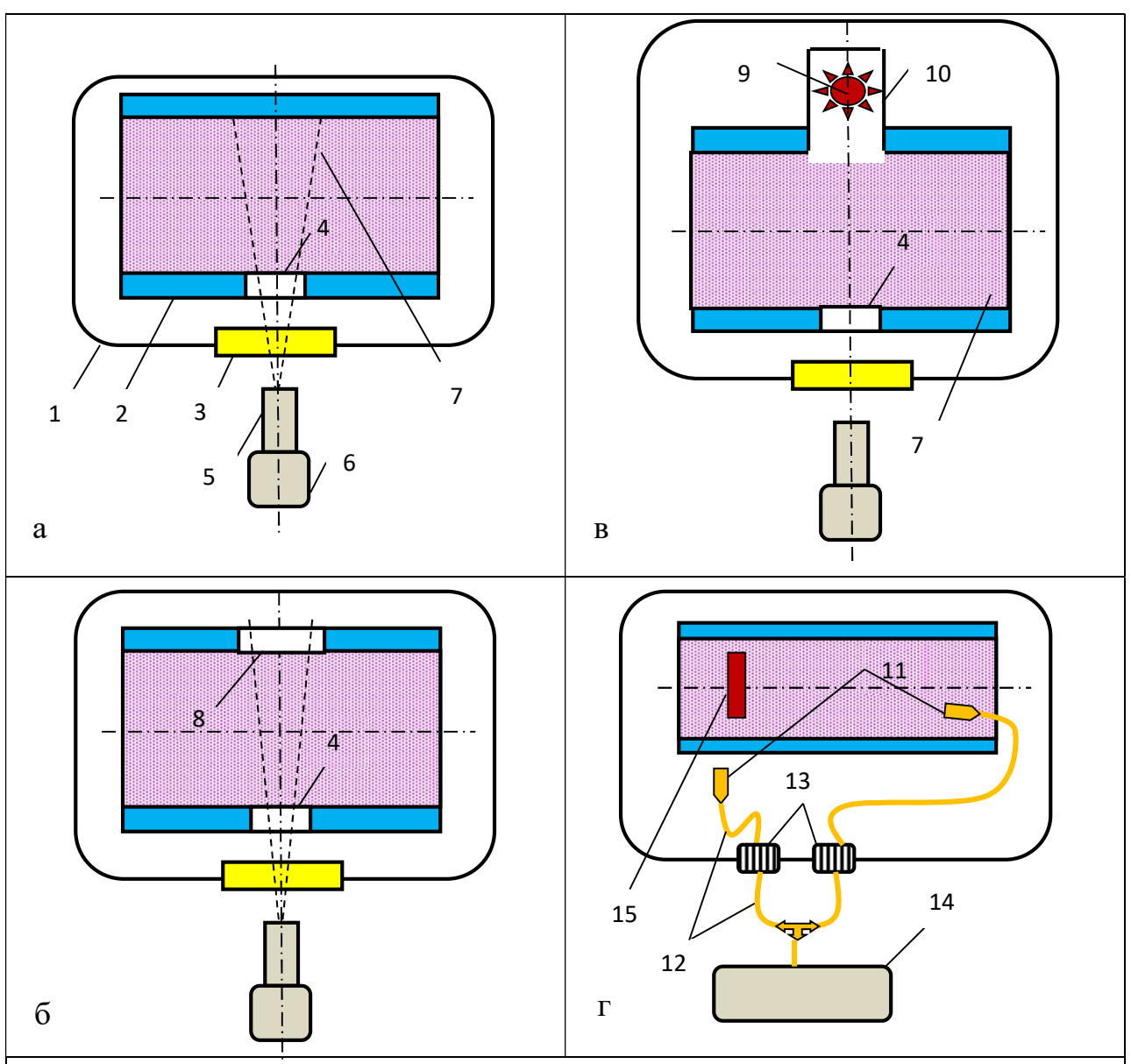


Рис.(5). Методики оптических измерений:

- (а-в) с помощью фотоприемников установленных вне рабочей камеры;
- (Γ) с помощью оптоволоконного спектрометра.
- (1) рабочая камера; (2) реакционная камера; (3) окно ТФ-5; (4,8) отверстия в стенке реакционной камеры; (5) объектив; (6) фотоприемник или спектральный прибор; (7) плазменный объем; (9) эталонный источник света; (10) «черная» полость; (11) коллимационные линзы; (12) оптоволоконные линии; (13) оптоволоконные шайбы; (14) спектрометр AvaSpec-2048, (15) мишень.

В главе 4 представлены результаты экспериментов. Температурное поле в реакционной камере во многом определяет условия протекания плазмохимических реакций, как вплазменном объеме, так и на поверхности камеры, контактирующей с плазмой. Прямые измерения локальных значений температуры плазмообразующей среды с помощью контактных датчиков (например, термопар или термометров сопротивления) затруднительны и ненадежны: будучи внесенным в неподвижное облако или поток ЭПП контактный датчик измеряет не температуру газообразной среды, а поток энергии от бомбардирующих его быстрых электронов. В то же время измерения температуры в различных точках корпуса реакционной камеры могут дать полезную информацию о тепловых режимах работы реактора и об условиях протекания плазмохимических реакций вблизи ее поверхности, поскольку температуру поверхности и пристеночного слоя газа можно считать примерно одинаковыми.

Таблица (3) иллюстрирует влияние продувки плазмообразующего газа на продольное распределение температуры в цилиндрической реакционной камере (коаксиальная конфигурация). Видно, что в газовом потоке температура стенкакамеры нагревается слабее, чем в неподвижном, а максимум температуры T_w может сместиться в сторону меньших z.

Таблица (3). Аксиальное распределение температуры цилиндрической стенки реакционной камеры $T_w(z)/[T_w(z)]_{\max}$ внеподвижном газе (аргоне) и при продувке через нее аргона. Параметры ЭП: $U=28,5\,$ кВ, $I_b=3,5\,$ mA, $P_m=5\,$ Торр; размеры реакционной камеры: $D=30\,$ мм, $L=250\,$ мм; скорость газового потока: $w=16\,$ м/с.

Направление вдува газа	$(T_w)_{\text{max}}$, K	z, mm				
		50	90	130	170	210
Неподвижный газ	218	0,47	0,86	1	0,86	0,65
К выводному устройству	156	0,86	1	0,72	0,48	0,35
От выводного устройства	115	0,8	1	0,72	0,61	0,57

Важно также, что $[T_w(z)]_{\max}$ и положение $z^*(z^*-$ сечение цилиндрической реакционной камеры, в котором T_w имеет максимальное значение) зависят от направления вдува газа, а также от величины расхода газа G и скорости течения w: чем выше скорость прокачки газа, тем менее нагретой оказывается цилиндрическая стенка реакционной камеры.

На рис.(6-а) приведены данные, характеризующие влияние давления плазмообразующего газа на вид функции B(z) для кварцевых трубок с

металлическим дном. Видно, что эти функции имеют максимумы при некоторых z^* . Если говорить о положении максимумов на достаточно больших расстояниях от торцов трубы, то при относительно низких давлениях P_m эти максимумы находятся на дальней от выводного окна части трубы (т.е. на больших z). По мере увеличения давления плазмообразующего газа (в этих экспериментах — воздуха) максимумы смещаются в сторону меньших z. Наличие таких максимумов и влияние условий генерации плазмы на их локализацию нами неоднократно обсуждалось в опубликованных нами работах.

Обращают на себя внимание максимумы на малых расстояниях от переднего (открытого) торца трубы, которые наблюдаются при всех P_m , и максимумы вблизи донной части трубы, которые регистрируются только при меньших P_m . Наличие этих максимумов объясняется следующими обстоятельствами.

- Выходной участок газодинамического окна, через которое ЭП инжектируется в рабочую камеру, является сильно нагретым, а потому яркой точкой. Излучение этого участка выводного окна падает на торец кварцевой трубки, вызывая ее интенсивную люминесценцию. Люминесценцию переднего торца кварцевой трубки иллюстрирует рис. (6-б). В той или иной мере это явление наблюдается при любых P_m , но наиболее оно заметно при больших P_m , когда нагрев выводного окна велик.
- Свечение дна реакционной камеры порождает максимум функции B(z) на дальнем от выводного окна конце трубы. Это свечение может быть следствием двух причин: нагревом дна быстрыми электронами и люминесценцией (например, когда дно тоже кварцевое). Очевидно, что с ростом P_m поглощение и рассеяние ЭП на длине трубки увеличиваются, и все меньше быстрых электронов достигают ее дна. Именно поэтому дополнительный максимум функции B(z) имеет место при низких давлениях плазмообразующего газа, как показано на рис. (6-в).

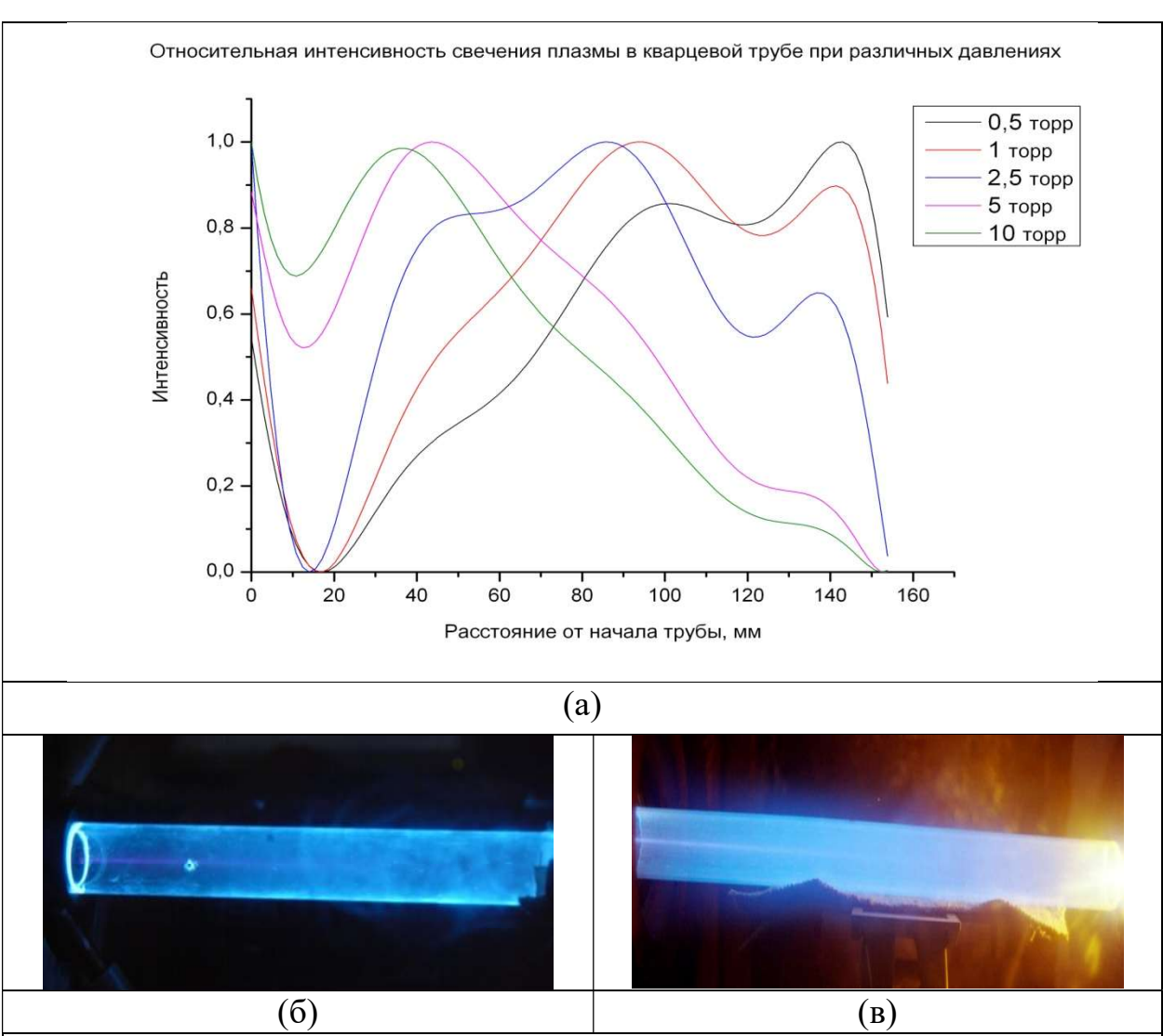


Рис.(6). Интенсивность B(z) излучения стенок цилиндрической реакционной камеры (кварцевая труба, d=18 мм), заполненной неподвижной ЭПП воздуха при различных давлениях P_m :

- (a) профиль интенсивности B(z);
- (б) люминесценция переднего (обращенного к выводному окну) торца камеры;
- (в) свечение дна камеры при малых P_m .

Интенсивность излучения слоя плазмы, проинтегрированная по некоторому поперечному сечению трубки, измерялась также с помощью широкополосных фотоприемников ВРХ-90, как показано на рис.(5-б). Результаты экспериментов, проведенных по этой методике, представлены на рис.(7). Они иллюстрируют зависимости интегральной интенсивности

излучения (B) ЭПП аргона от давления P_m при фиксированном токе ЭП и от силы тока пучка (I_b) при фиксированном давлении P_m .

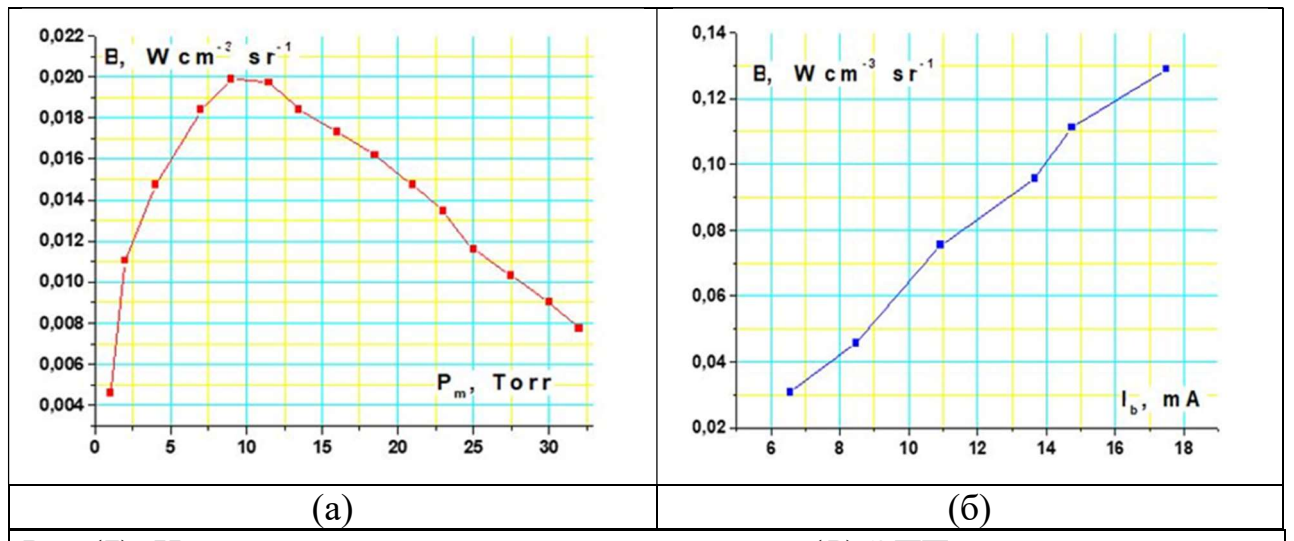


Рис.(7). Интегральная интенсивность излучения (B) ЭПП аргона, измеренная широкополосным фотоприемником ВРХ-90, как функция:

- (a) давления газа, $I_b = 4.5$ mA, $z_0 = 130$ мм.
- (б) силы тока электронного пучка, $P_m = 9$ Topp, $z_0 = 130$ mm.

В экспериментах, выполненных по схеме «на просвет» (см. рис.5-в), было установлено, что ЭПП является оптически тонкой в видимом и ближнем ИК спектральных диапазонах. Это обосновывает применимость оптических методов, в том числе оптической пирометрии и эмиссионной спектроскопии, для исследования процессов в пристеночных слоях плазмы и плазмохимических реакций на поверхности обрабатываемого материала (см., например, схему, представленную на рис.(5-г)).

На рис.(8) приведены фотографии плазменного облака над горизонтально расположенной металлической пластиной (медным диском толщиной 1 мм), поверх которой тонким слоем налита диэлектрическая жидкость. Этими жидкостями служили касторовое масло, кремний-органическая жидкость ПФМС, диэтиленгликоль, т.е. жидкости с низким давлением насыщенного пара, что позволило избежать их кипения при форвакуумном давлении плазмообразующего газа. Толщина слоя жидкости могла варьироваться от 1 до 5 мм. Такая простейшая конфигурация изображена на рис.(4–3).

Металлическую пластину можно было подключать к ВЧ генератору или источнику постоянного напряжения; кроме того, над жидким слоем можно было поместить кольцевой электрод, как показано на рис.(4–и).

Обычно этот электрод заземлялся. В кольцевом электроде могли быть сделаны специальные отверстия для подачи дополнительного газа или пара в зону формирования приповерхностной плазмы. Продувка газа сквозь слой жидкости могла быть организована и снизу, как показано на рис.(4–к). Для этого металлическая пластина изготавливалась из газопроницаемого порошкового материала.

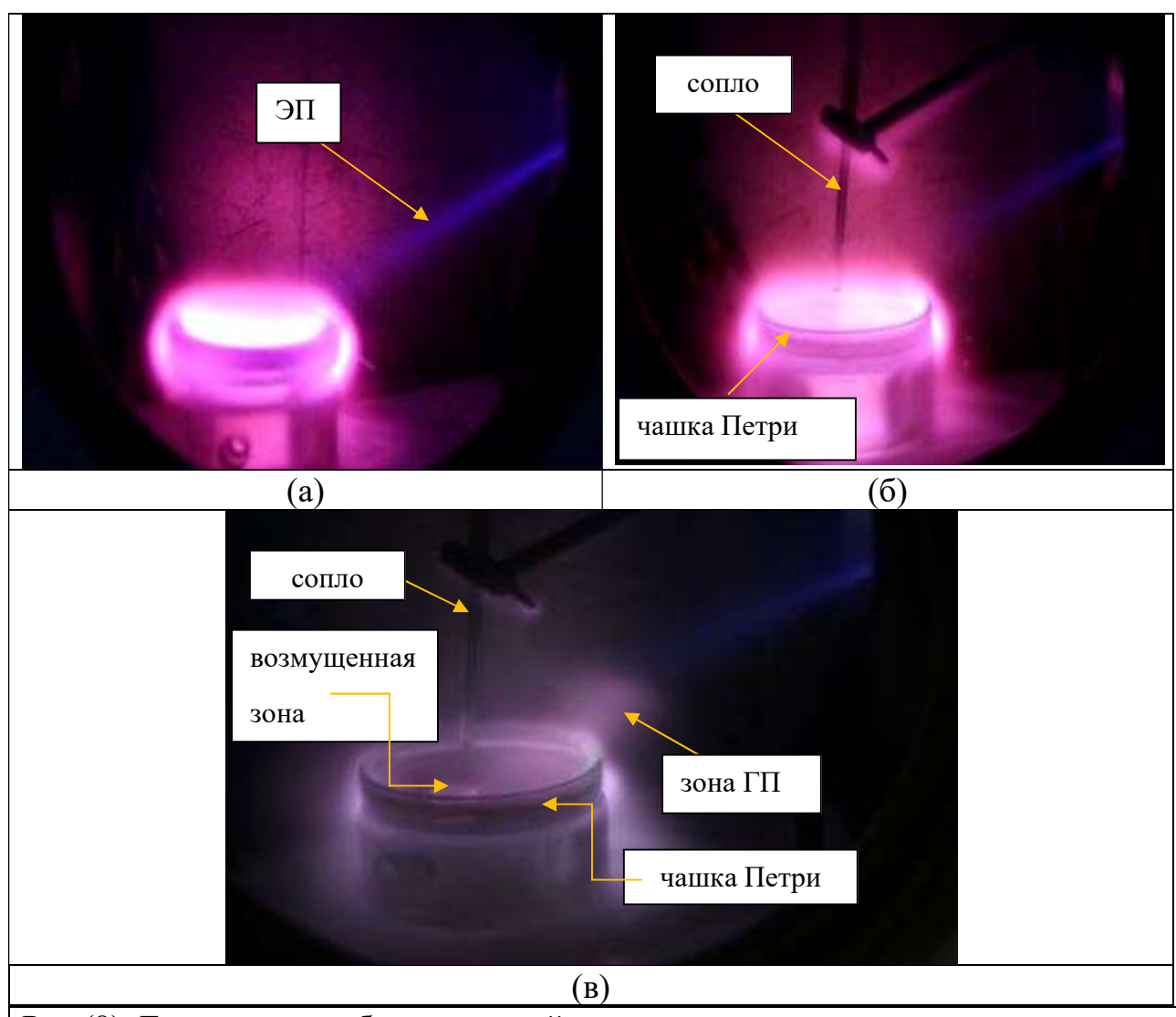


Рис.(8). Генерация комбинированной плазмы над поверхностью жидкого диэлектрика (костровое масло)

- (а) P_m = 1 Торр, I_b = 5 мА, $W_{\rm BH}$ = 25 Вт, плазмообразующая среда неподвижный воздух;
- (б) $P_m = 1$ Торр, $I_b = 2.5$ мА, $W_{B^{\text{H}}} = 50$ Вт, плазмообразующая среда неподвижный воздух;
- (в) $P_m = 2.5$ Торр, $I_b = 3$ мА, $W_{BH} = 50$ Вт, плазмообразующая среда пары

этилового спирта, которые подаются в виде струи через сопло малого диаметра (трубка диаметром ≈ 2 мм).

В данной серии экспериментов контейнер представлял собой плоский стеклянный сосуд (чашка Петри), на дне которого располагался металлический диск с диаметром, равным диаметру чашки Петри, который служил электродом. К нему могла подводиться мощность ($W_{\rm B4}$) от ВЧ-генератора, работающего на частоте 13,6 МГц.

Плазмообразующий газ мог подаваться в рабочую камеру вдали от контейнера или вдуваться тонкой струей, направленной на поверхность жидкости. В последнем случае поверхность жидкости оказывалась сильновозмущенной: на ней могло образовываться углубление с интенсивным выносом макрочастиц жидкости. Поток этих частиц визуализируется электронным пучком и хорошо виден на рис.(8-в).

На фотографиях, которые представлены на рис.(8), хорошо видно облако комбинированной плазмы над поверхностью жидкости, которое формируется инжекцией электронного пучка в зону горения ВЧ-разряда. Обращает на себя внимание тот факт, что комбинированная плазма паров этилового спирта светится очень слабо (рис.(8-в)), и полученные изображения практически не поддаются компьютерной обработке. По той же причине не удалось провести спектральные измерения в плазме C_2H_5OH .

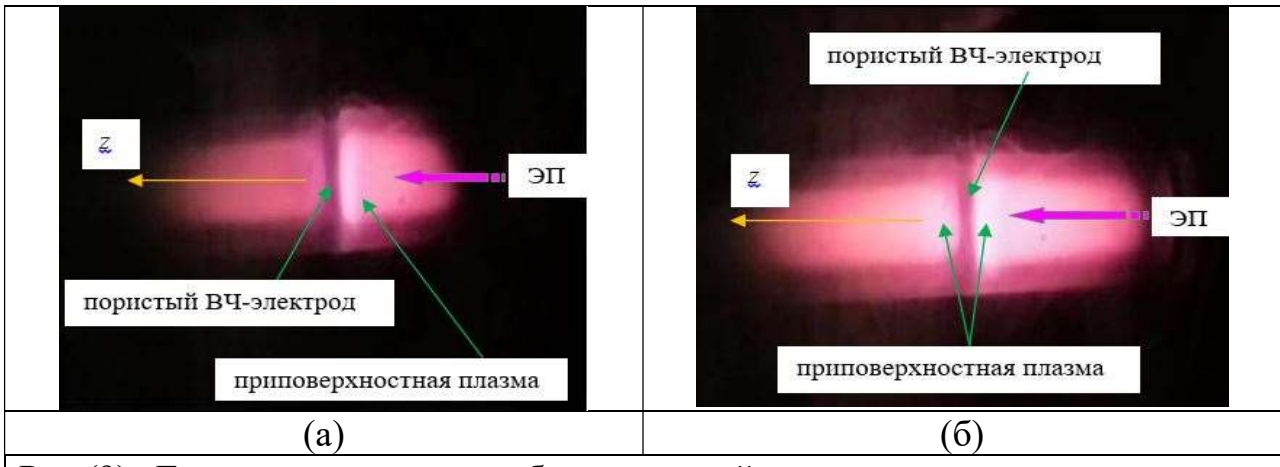


Рис.(9). Генерация потока комбинированной плазмы смеси воздух-метан в цилиндрическом канале.

- (а) плазма смеси воздух-метан;
- (б) плазма воздуха (подача метана выключена).

Стрелка – направление инжекции ЭП и воздушного потока.

Рис.(9) иллюстрирует эксперименты, которые методике, изображенной на рис.(4-д). Вдоль кварцевой трубки продувался воздух, а через пористую трубку, расположенную поперек воздушного потока, вводился дополнительный газ – метан. На эту же трубку подавалась ВЧ-мощность, т.е. она служила активным ВЧ-электродом. Электронный пучок инжектировался вдоль трубы в направлении газового потока, которое на рисунке обозначено стрелкой. Видно, что подача метана уменьшает размер светящегося облака приповерхностной плазмы в направлении оси z. Кроме того в этом случае, зона свечения плазмы за пористым электродом видна только со стороны выводного окна. В воздушной плазме свечение наблюдается обеих сторон ВЧ-электрода. Плазма, возбуждаемая электронным пучком, на фоне ярко светящейся ВЧ-плазмы не видна.

В заключение, приведем еще несколько фотографий, которые иллюстрируют нестационарные явления, которые при определенных условиях могут наблюдаться в приповерхностной ЭПП.

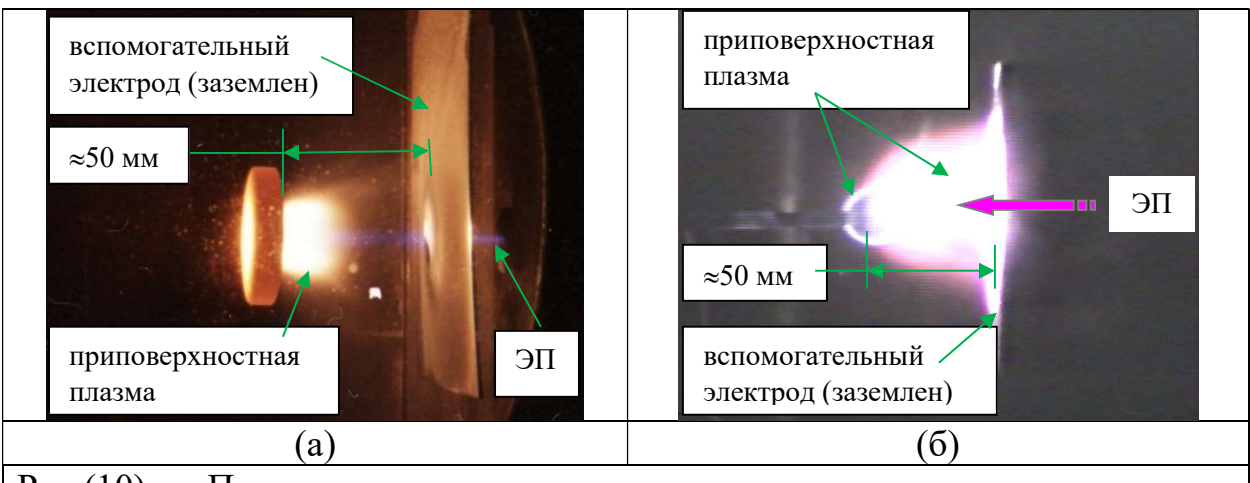


Рис.(10). Приповерхностная плазма при наличии заземленного вспомогательного электрода:

- (a) $Э\Pi\Pi$ у поверхности изолированного от «земли» металлического диска,
- (б) комбинированная плазма у поверхности металлической сферы.

На рис.(10-а) хорошо видна развитая зона приповерхностной ЭПП в промежутке шириной до 50 мм между изолированной от «земли» металлической мишенью и плоским заземленным вспомогательным электродом с отверстием на оси инжекции пучка. При определенных условиях эта область могла достигать поверхности вспомогательного электрода. При этом наблюдались периодические электрические пробои между мишенью и вспомогательным электродом.

Рис.(10-б) иллюстрирует возникновение аналогичного пробоя между изолированной от «земли» металлической сферой и заземленным кольцевым вспомогательным электродом. На сферу подано постоянное напряжение ≈ 400 В отрицательной полярности, т.е., фактически, происходит генерация приповерхностной ЭПП при наличии внешнего электростатического поля. Из-за наличия этого поля непосредственно у поверхности сферы возникает тонкий слой плазмы, хорошо видный на рис.(10-б). Электронный пучок, обозначенный на фотографии стрелкой, не виден из-за сильной засветки кадра излучением плазменного облака.

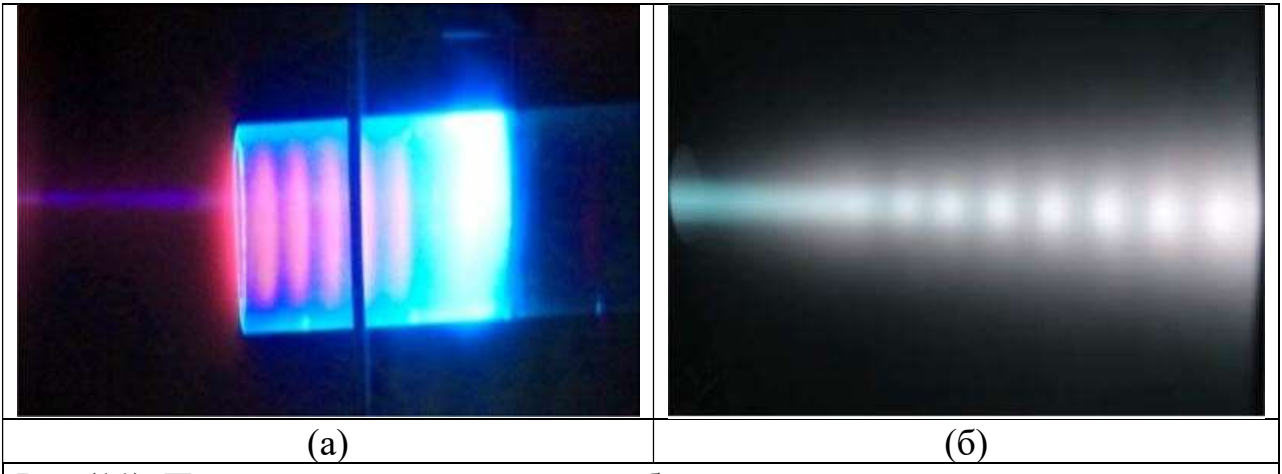


Рис.(11). Периодические структуры, наблюдавшиеся:

(a) — в наших экспериментах (плазмообразующий газ воздух, $P_{\it m}=0.5$ -0,8 Торр;

(б) – в экспериментах, описанных в работе, $P_m = 0.3$ Торр;

Весьма интересные явления наблюдались в достаточно коротких реакционных камерах (с отношением длины к диаметру $L/D \sim 1-3$) с заземленным металлическим дном: в поперечных сечениях камер появлялись яркие неподвижные или медленно движущиеся в направлении к выводному окну периодические структуры, похожие на страты в тлеющем газовом разряде. На рис. (11-а) приведено фото нашего эксперимента. Похожее явление описано авторами работы [Klimov A. S., Zenin A. A., Oks E. M., Prech K. // Physics of Plasmas. 2018. Vol. 25 (11). P. 113103] (см. рис. (11-б)). Однако, их проводились свободном газовом эксперименты В диэлектрической камеры и при более низких давлениях ($P_m < 0.5$ Topp). Как хорошо видно на рис. (11-б), зоны неравномерной светимости с регулярно чередующимися с тёмными промежутками видны только на трассе распространения ЭП. В наших экспериментах такие зоны образуются во всем сечении диэлектрической рабочей камеры и, что важно отметить, ось

инжекции пучка может не совпадать с осью реакционной камеры. При этом аксиальная симметрия периодических структур не нарушается.

Выводы

- 1. Разработаны специализированные блоки для существующей установки, которые обеспечили проведение экспериментов по генерации электронно-пучковой плазмы в пристеночных областях реакционных камер плазмохимических реакторов, предназначенных для обработки твердых материалов, жидкостей и газожидкостных смесей. Установка также позволяет проводить изучение процессов генерации электронно-пучковой плазмы на поверхности объектов, размещенных в реакционных камерах коаксиальной и планарной конфигурации, при инжекции непрерывного или импульсно-периодического электронного пучка в неподвижный газ, заполняющий реакционную камеру, а также в газовые потоки.
- 2. Методами контактной И оптической термометрии изучены конструктивных температурные различных ПОЛЯ элементов реакционных камер влияние на ЭТИ И ПОЛЯ давления плазмообразующего газа, a также интенсивности прокачки плазмообразующей среды через реакционную камеру.
- 3. Широкополосными и спектральными оптическими измерениями исследовано пространственное распределение энерговклада электронного пучка в плазмообразующую среду, локализованную внутри реакционной камеры. Изучено влияние на это распределение давления плазмообразующего газа и интенсивности прокачки плазмообразующей среды через реакционную камеру. При этом доказано, что:
 - Нагрев плазмообразующей среды происходит преимущественно за счет теплообмена со стенками реакционной камеры, которая нагревается непосредственной бомбардировкой быстрыми электронами пучка; прямой нагрев плазмообразущей среды за счет торможения в ней электронного пучка не вносит заметного вклада в тепловые режимы плазмохимического реактора.
 - Приповерхностная плазма является оптически тонкой в видимом и ближнем ИК спектральных диапазонах. Это обосновывает применимость оптических методов, в том числе оптической пирометрии и эмиссионной спектроскопии, для исследования процессов в пристеночных слоях плазмы и плазмохимических реакций на поверхности обрабатываемого материала.

- 4. В планарной конфигурации реакционной камеры удалось осуществить генерацию комбинированной плазмы над поверхностью жидкого диэлектрика:
 - В не подвижном плазмообразующем газе;
 - При обдуве поверхности жидкого диэлектрика потоком плазмообразующего газа.
- 5. В экспериментах с приповерхностной плазмой обнаружены нестационарные явления, которые сопровождаются:
 - Образованием ярких неподвижных или медленнодвижущихся в направлении выводного окна периодических структур, похожих на страты в тлеющем газовом разряде;
 - Развитием зоны горения приповерхностной плазмы в широком (вплоть до ≈ 50 мм) зазоре между мишенью и заземленным вспомогательным электродом.

Материалы диссертации опубликованы авторомв следующих работах:

- 1. **[Идексируется базой данных RCSI]** *Йе Хлаинг Тун, Аунг Чжо У, Васильев.М.Н.* Экспериментальное исследование электрофизических свойств приповерхностной электронно-пучковой плазмы // ТРУДЫ МФТИ. 2019. Том 11, № 2 (42). С. 156-160.
- 2. **[Идексируется базой данных RCSI]** *Аунг Чжо У, Йе Хлаинг Тун, Васильев.М.Н.* Генерация электронно-пучковой плазмы вблизи поверхности проводящих и диэлектрических дисков // ТРУДЫ МФТИ. 2020. Том 12, № 1 (45). С. 5-11.
- 3. **[Идексируется базой данных RCSI]** *Йе Хлаинг Тун, Аунг Чжо У, М.Н.Васильев.* Генерация электронно-пучковой плазмы внутри диэлектрического контейнера // ТРУДЫ МФТИ. 2020. Том 12, № 2 (46). С. 126-130.
- 4. [Идексируется базой данных RCSI] Йе Хлаинг Тун, Аунг Чжо У, М.Н.Васильев, Хтет Ко Ко Зау, Зин Мин Маунг, Яр Зар Аунг. Управление электростатической зарядкой твердых тел в каналах, заполненных электронно-пучковой плазмой // ТРУДЫ МФТИ. 2021. Том 13, № 1 (49). С. 65-70.
- 5. **[Идексируется базой данных RCSI]** *Хтет Ко Ко Зау, Васильева Т.М, Аунг Чжо У, Йе Хлаинг Тун, <i>Васильев, М.Н, Виноградов М.И, Макаров И.С.* Комбинированная плазма в процессах обработки волокон // Наноиндустрия. 2021. Том 14, № S6. C. 251-264.
- 6. [Идексируется базой данных Scopus] Хтет Ко Ко Зау, Т.М.Васильева, **Йе Хлаинг Тун**, Аунг Чжо У, Т.Г.Шикова. Сравнение

химического состава и гидрофильных свойств поверхности органических полимеров, обработанных в различных видах низкотемпературной плазмы // Химия высоких энергий. 2021. Том 55, N 4. С. 303-309.

Отпечатано с оригинал-макетов Заказчика в типографии "Переплетофф"

Адрес: г. Долгопрудный, ул. Циолковского, 4.

Тел: 8(903) 511 76 03. www.perepletoff.ru

Формат 148 х 210 мм. Бумага офсетная.

Печать цифровая. Тираж 20 экз.

Твердый (мягкий) переплет.

Заказ № _____. 04.10.21 г.